

# Laboratorio di Fisica Computazionale I

## Prima prova in itinere

Autore: Andrea Belli Contarini (matricola: 1916927)

Roma, 8 novembre 2020

## 1 Sommario

### 1.1 Parte 1

Si è studiato il moto di una particella puntiforme di massa  $m = 1$ , che si muove lungo una retta con un moto determinato da una equazione differenziale (cfr. "introduzione"), partendo dalla condizione iniziale  $x(0) = x_0 = 10$  e  $v(0) = -v_0$ .

### 1.2 Parte 2

Nella seconda parte si è studiato il moto della stessa particella, ma con l'aggiunta di un termine d'attrito. Per lo studio di questo punto è stato utilizzato un algoritmo diverso da quello precedente.

### 1.3 Parte 3

In quest'ultima parte si è studiato il cambiamento drastico nella posizione asintotica ad un tempo elevato ( $T_{max} = 250$ ), al variare di  $v_0$  in  $[0, 4]$  e di  $\gamma$  in  $[0, 0.2]$ , individuando inoltre quella regione del piano  $(v_0, \gamma)$  per cui la posizione asintotica vale  $x = 1$ .

## 2 Introduzione

### 2.1 Parte 1

Con il programma "integratore.c" è stato studiato il moto della particella che ha un moto determinato dall'equazione differenziale:

$$\frac{d^2x(t)}{dt^2} = e^{-x(t)/2} \cdot \log(x(t)) \cdot \left[ \log(x(t)) - \frac{4}{x(t)} \right]$$

E' noto inoltre che per la soluzione esatta dell'equazione precedente vale:

$$\frac{1}{2}v(t)^2 + 2(\log(x(t)))^2 \cdot e^{-x(t)/2} = \text{costante} = K$$

Il programma integra l'equazione con un algoritmo del secondo ordine: *Verlet Velocità*.

E' stato poi creato un altro programma ("puntoCeD.c") per rispondere alle varie richieste della prima parte, ossia ottenere:

- c) La stima di  $v_0^{min}$  tale che la particella raggiunga la posizione  $x = 1$ .
- d) Le stime dei tempi ( $t_1^*$  e  $t_2^*$ ) per cui la particella passa per  $x = 1$ , fissato  $v_0 = 1$  e  $T_{max} = 20$ .

## 2.2 Parte 2

E' stato studiato lo stesso moto della stessa particella con la "semplice" aggiunta di un termine d'attrito. L'equazione da integrare risulta dunque:

$$\frac{d^2x(t)}{dt^2} = e^{-x(t)/2} \cdot \log(x(t)) \cdot \left[ \log(x(t)) - \frac{4}{x(t)} \right] - \gamma \frac{dx(t)}{dt},$$

dove  $\gamma = 0.1$  e la condizione iniziale è uguale a quella della Parte 1.

L'algoritmo utilizzato è stato, in questo caso, il *Runge-Kutta 2*.

Si è studiato il moto al variare di  $v_0$  (punto a) e nel limite di tempi molto grandi (punto b,  $T_{max} = 250$ ).

Si noti, infine, che è stato creato un terzo programma, "parte2e3.c", per poter rispondere ai quesiti.

## 3 Strumentazione

L'editor di testo utilizzato per scrivere i codici in linguaggio c è stato *X-code*, scaricabile dall'*app store* di ogni *Mac*.

Per eseguire i grafici è stato invece utilizzato il programma *Gnuplot*.

## 4 Presentazione e analisi dei dati

### 4.1 Parte 1

Innanzitutto si dimostra (graficamente) che l'algoritmo utilizzato (*Verlet Velocità*) è effettivamente un algoritmo del II ordine. Si studia dunque la dipendenza lineare di  $\Delta K(t) = \frac{K(t) - K(0)}{K(0)}$  da  $\Delta t^2$ :

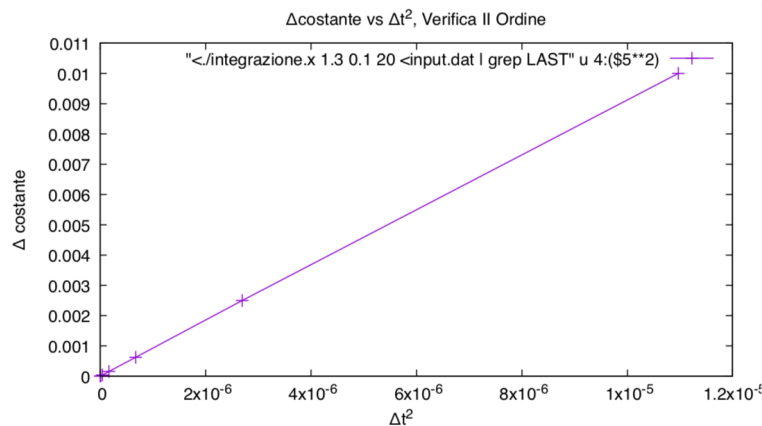


Figura 1: Fit: studio di  $\Delta K(t)$  in funzione di  $\Delta t^2$ . I punti si dispongono chiaramente su di una retta.

#### - Punto a

Si è quindi scritto il programma "integatore.c" che integrasse l'equazione differenziale presentata in "Introduzione", prendendo in input dal terminale i valori (in ordine) di  $v_0$ ,  $\Delta T$  e  $T_{max}$ , leggendo invece da un file "input.dat" il valore di  $x_0 = 10$ .

#### - Punto b

Come da richiesta, si riporta di seguito il grafico che mostra le traiettorie per  $v_0 = 0.1$  e  $v_0 = 1.2$ . Si noti che il passo d'integrazione utilizzato è stato  $\Delta t = 0.01$ .

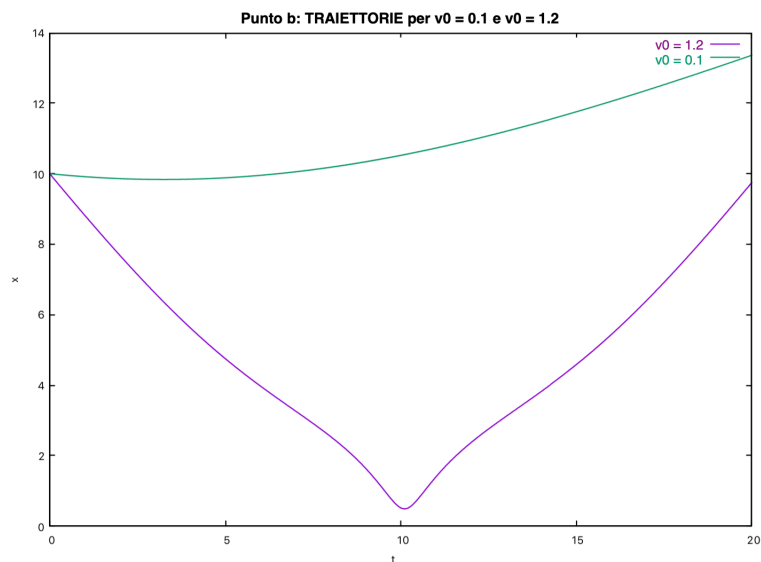


Figura 2: Traiettorie per  $v_0 = 0.1$  e  $v_0 = 1.2$ , nell'intervallo  $t \in [0, 20]$ .

Eseguendo inoltre un grafico di  $x(t)$  per diversi valori della velocità iniziale (nel range di  $[0, 2]$ ), si è notato che aumentando  $v_0$ , il valore della  $x$  tende ad aumentare con una rapidità proporzionale al valore di  $v_0$ ; ossia maggiore è (in modulo) la velocità iniziale, maggiore sarà la pendenza del grafico (ovviamente ciò accade da un certo tempo in poi, cfr. figura sottostante).

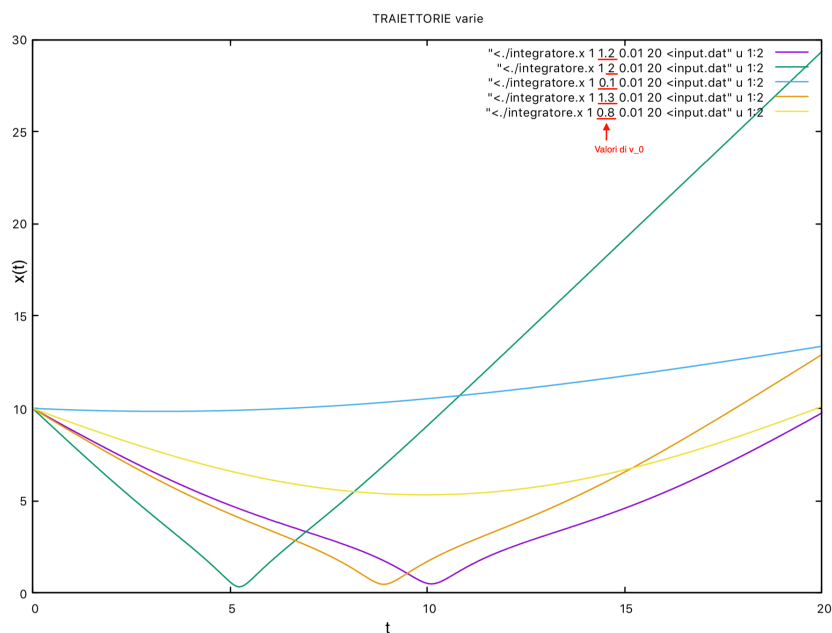


Figura 3: Traiettorie varie, nell'intervallo  $t \in [0, 20]$ .

Si nota anche che la particella, per  $v_0$  abbastanza grandi, viene "attirata" verso  $x = 0$  (vertice molto "pronunciato" in figura), salvo poi ricrescere con una pendenza tanto maggiore quanto grande era il valore di  $v_0$ .

Si riporta di seguito il grafico dello spazio delle fasi.

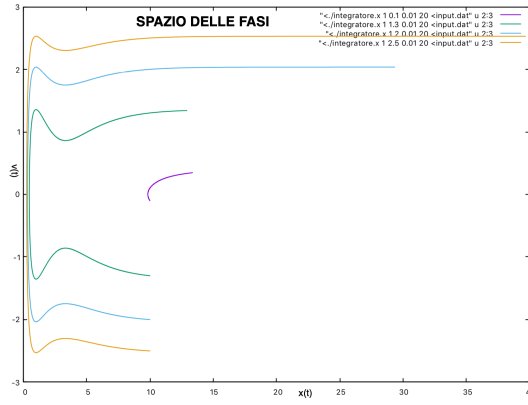


Figura 4: Grafico spazio delle fasi

Rappresentare lo spazio delle fasi, si vede, non è purtroppo di grande utilità; non ci permette di aggiungere altro.

#### - Punto c

Tramite il programma "puntoCeD.c", si riesce facilmente a stimare la velocità minima affinché la particella raggiunga il punto  $x = 1$ .

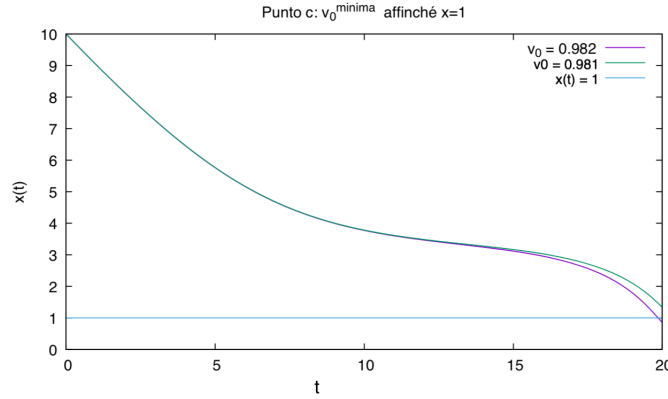


Figura 5: In viola la velocità limite  $v_0^{min} = 0.982$ ; in verde  $v_0^* = 0.981$

Tale valore è risultato  $v_0^{min} = 0.982$  per uno studio limitato all'intervallo di tempo di prima:  $t \in [0, 20]$ . Per un  $T_{max}$  maggiore si otterrà un valore della velocità ovviamente diverso (minore). Ad esempio per  $T_{max} = 25$ , anche la velocità  $v_0^* = 0.981$  raggiunge  $x = 1$  (non sarà però il valore minimo). Studiando infatti il moto in un intervallo più ampio, ad esempio per  $T_{max} \geq 30$ , si ottiene un valore  $\bar{v}_0^{min} = 0.976$ .

#### - Punto d

Fissato ora  $v_0 = 1$ , si sono stimati (sempre tramite "puntoCeD.c") i tempi  $t_1^*$  e  $t_2^*$  per cui la particella passa per  $x = 1$ . Essi sono risultati:

$$\begin{cases} t_1^* = 16.178 \\ t_2^* = 17.394 \end{cases}$$

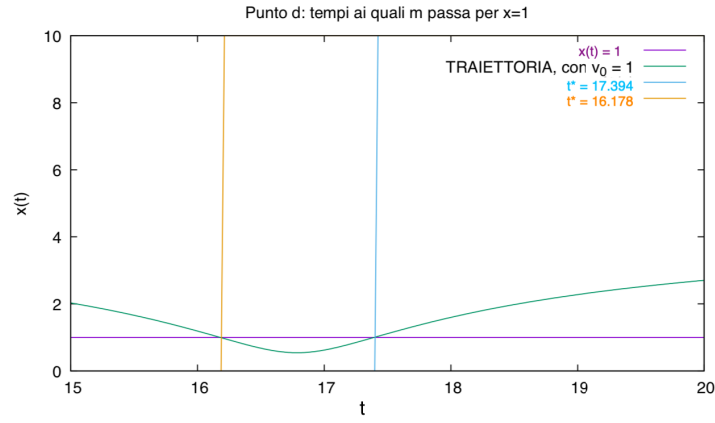


Figura 6:  $t_1^*$  in arancione e  $t_2^*$  in azzurro.  $\Delta t$  utilizzato: 0.01

Stampando poi su un classico file.dat i vari tempi  $t^*$  a cui avviene l'intersezione per  $x = 1$ , si è notato che, affinché il valore dei tempi  $t_1^*$  e  $t_2^*$  non cambi al variare del passo d'integrazione (prendendo in considerazione fino alla terza cifra decimale), è necessario un  $\Delta t$  pari a 0.024 o minore. Aumentando tale valore, infatti, il valore dei due tempi stampati risultava leggermente minore di quello esatto. Diminuendo invece il  $\Delta t$  da 0.024 in poi, si ottengono sempre i medesimi valori.

## 4.2 Parte 2

### - Punto a

Si riporta in figura sottostante il moto della particella al variare di  $v_0$  nel range  $[1, 2.5]$ .

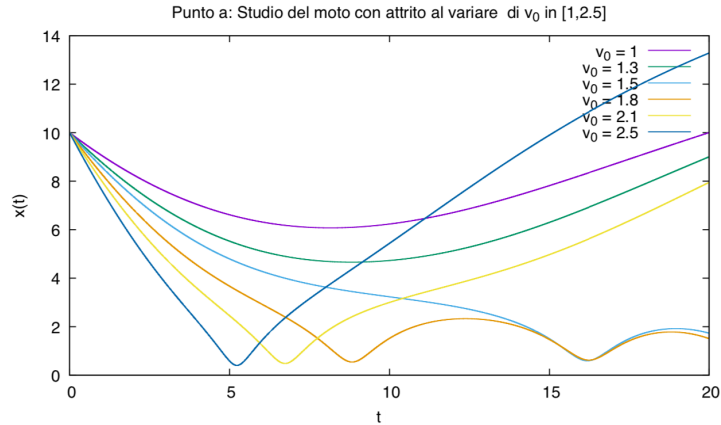


Figura 7: Traiettorie varie per  $v_0 \in [1, 2.5]$

Si nota dalla figura (6) che per  $v_0$  pari a 1.5 e 1.8 si ha un comportamento diverso rispetto a quando la particella parte con velocità diverse.

Con l'aggiunta le termine d'attrito infatti sembra che per certi intervalli di  $v_0$ , questi non permetta alla particella di proseguire il suo moto (con  $x(t)$  che quindi va a crescere).

Si nota inoltre che per velocità "abbastanza piccole", quasi non si risente del termine d'attrito. Per velocità "grandi" (ad esempio pari a 2.1 o 2.5, mostrate in figura), invece, l'attrito non è tale da fermare la particella; essa riesce a proseguire.

### - Punto b

Si vuole osservare, a questo punto, cosa succede alla particella nel limite di tempi molto grandi. Si è studiato dunque l'andamento di  $x(t)$  per un intervallo di tempo  $t \in [0, 250]$ .

Tramite il terzo ed ultimo programma scritto ("parte2e3.c"), si è riuscito ad individuare quel range di  $v_0$  per cui (con  $T_{max} = 250$ ) si notano dei cambiamenti drastici.

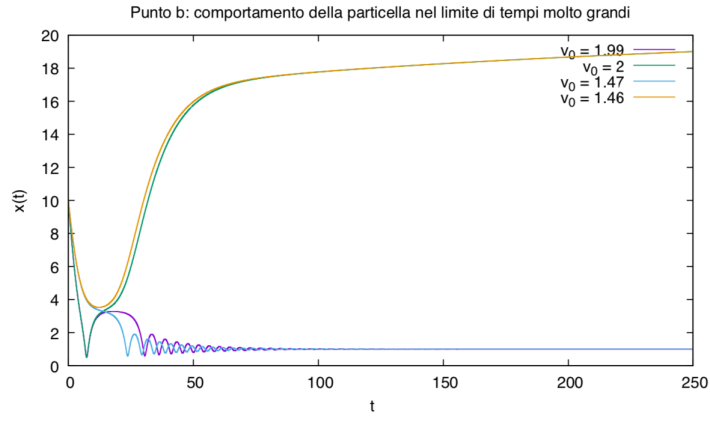


Figura 8: Cambiamento drastico nella posizione della particella per  $T_{max} = 250$

Si conclude, allora, che per  $1.47 \leq v_0 \leq 1.99$ , la particella non riesce a "vincere" l'attrito e dunque tende, oscillando, a stabilizzarsi nella posizione  $x = 1$ .

### 4.3 Parte 3

Si è inizialmente osservato, in generale, l'andamento della particella prima descritto al variare di  $v_0$  in  $(0, 4]$  e di  $\gamma$  in  $(0, 0.2]$ . Si presentano i seguenti grafici a titolo di esempio.

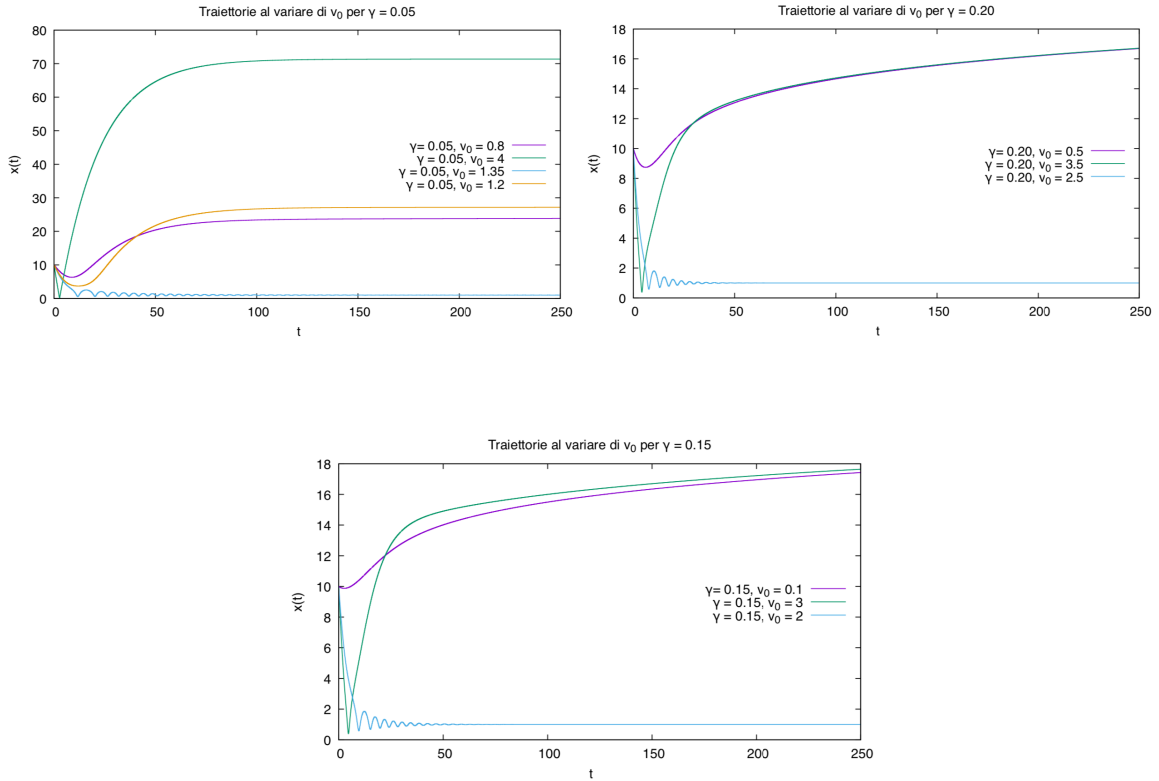


Figura 9: Cambiamento drastico nella posizione della particella ( $T_{max} = 250$ ), al variare di  $\gamma$  e  $v_0$ .

Infine è stato studiato il cambiamento drastico nella posizione con  $v_0$  e  $\gamma$  che variano negli intervalli prima citati.

Si è in particolare individuata quella regione del piano  $(v_0, \gamma)$  in cui la posizione asintotica vale  $x = 1$ .

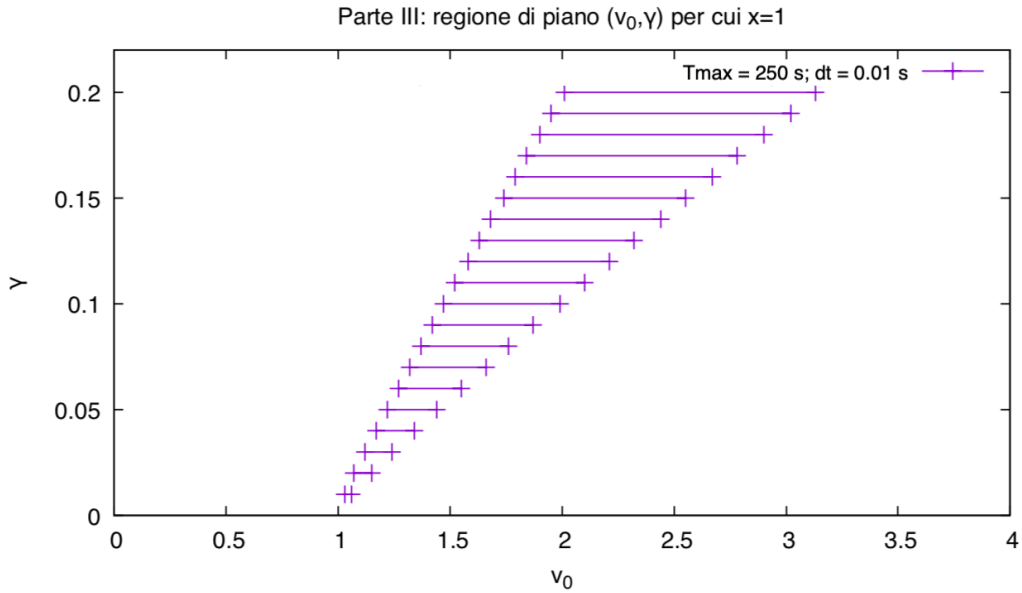


Figura 10: Regione di piano  $(v_0, \gamma)$  in cui  $x=1$ .

## 5 Conclusioni

### 5.1 Parte 1

In primo luogo, l'algoritmo *Verlet Velocità* è risultato del II ordine, come ipotizzato.

Si è ottenuto, poi, un valore di  $v_0^{min}$  tale che per  $T_{max} = 20$  la particella passi per  $x = 1$ , pari a 0.982. Si deve far notare, però, che se viene preso in considerazione un intervallo di tempo maggiore,  $v_0^{min}$  assumerà un altro risultato (minore di 0.982). Per valori di  $T_{max} \geq 30$ ,  $v_0^{min}$  sarà sempre pari a 0.976.

Infine i tempi per cui  $x = 1$ , fissando  $v_0 = 1$ , sono risultati  $t_1^* = 16.178$  e  $t_2^* = 17.394$ . E' necessario, inoltre, per ottenere sempre questi valori, integrare con un passo di integrazione  $\Delta t \leq 0.024$ . Questo è chiaro, aumentando il numero di passi (diminuendo il valore del passo d'integrazione), si ottiene una traiettoria fatta di punti sempre più vicini, e quindi più precisa. Si rischia dunque di eseguire un'integrazione troppo "grossolana" se i valori di  $\Delta t$  sono eccessivamente grandi.

### 5.2 Parte 2

Studiando il moto nell'intervallo di  $t [0, 250]$ , si è notato che la particella resta ad oscillare attorno a  $x = 1$  per valori di  $v_0$  appartenenti all'intervallo  $[1.47, 1.99]$ , in cui la particella non riesce a vincere l'attrito e tende, oscillando, a stabilizzarsi nella posizione  $x = 1$ .

### 5.3 Parte 3

Dal grafico in figura 10, si nota facilmente che all'aumentare del valore di  $\gamma$ , l'intervallo delle  $v_0$ , affinché  $x = 1$ , sarà più ampio, come ci si aspettava.

Una volta individuata la regione di piano  $(v_0, \gamma)$  per cui la particella tende a  $x = 1$ , si risponde allora all'ultimo quesito...

Per  $\gamma \rightarrow 0$ , si torna al problema da studiare nella prima parte, ossia senza attrito (Parte I, punto c). Quindi, ad esempio, per un  $T_{max} = 20$ , il valore di  $v_0$  tenderà a 0.982.

Per ottenere, invece, il valore di  $v_0$  quando  $\gamma \rightarrow 0$ , per  $T_{max} = 250$ , ci si avvale dell'algoritmo nel codice "puntoCeD.c" (funzione "Calcolo\_Vmin"), e si trova un valore di  $\bar{v}_0^{min} = 0.976$  (sempre in valore assoluto).